

Università degli studi di Bergamo

Scuola di Ingegneria (Dolmine)

CCS Ingegneria Edile

L-23 Ingegneria delle Tecnologie per l'Edilizia

Scienza delle Costruzioni

(ICAR/08 - SdC ; 9 CFU)

A.A. 2020/2021

prof. Egidio RIZZI

egidio.rizzi@unibg.it

LEZIONE 21

• Sollecitazioni composte:

- flessione (deviata)

→ come composizione di due flessioni rette, M_x e M_y .

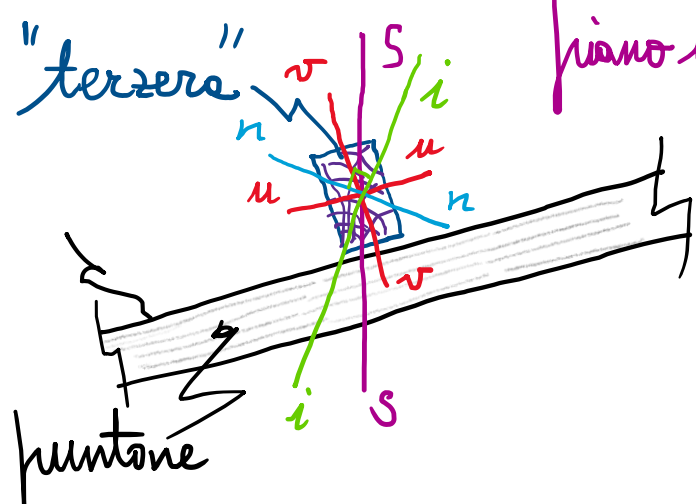
- tenso-flessione (retta o deviata) → " " " = azione assiale e flessione,

N e M_x (e M_y)

Flessione deviata : in generale, l'asse di sollecitazione (asse s-s), traece del piano di sollecitazione (contenente le coppie flettenti agenti sulle basi del prisma di DSV) sul piano delle sezioni, non coincide con un asse principale d'inerzia delle sezioni (eventualità che condurrebbe al caso visto di flessione retta).

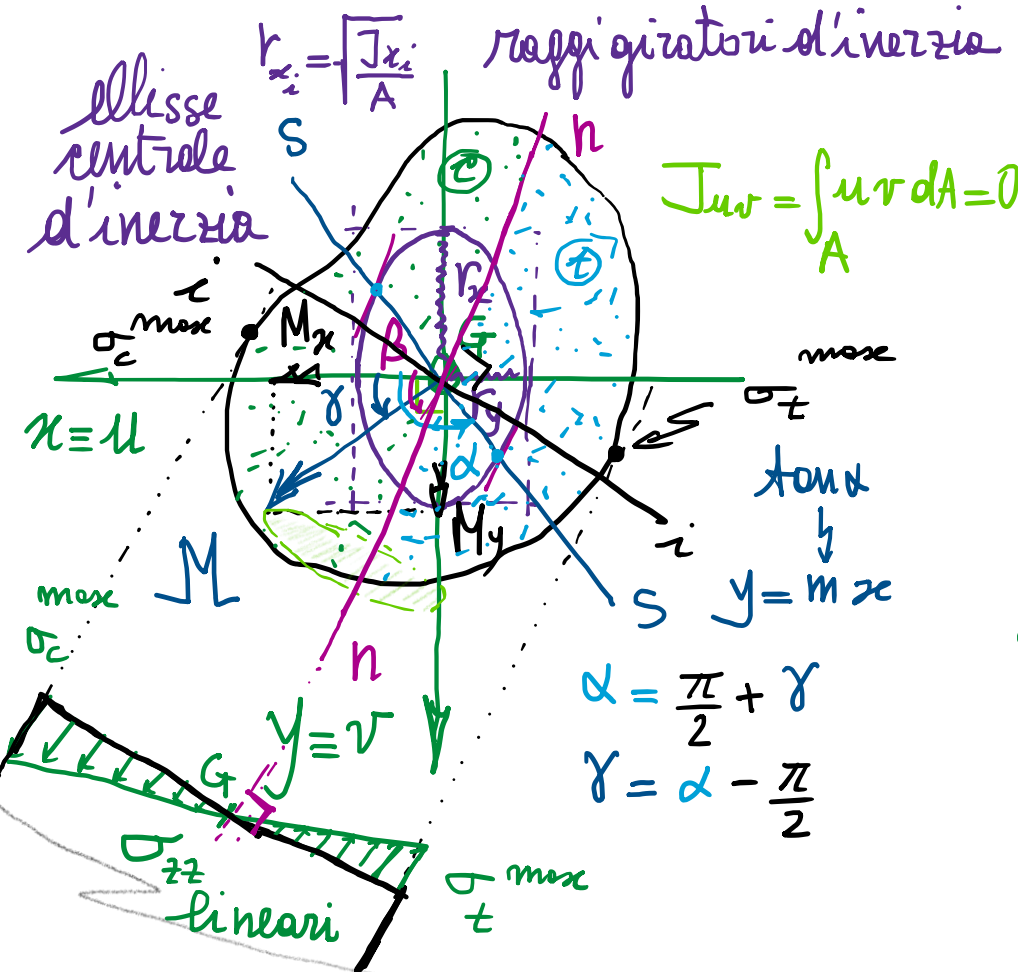
Esempio tipico :

falda
inclinata
(es. tetto)



"terzere" piano di sollecitazione verticale (carichi gravitazionali)

piano di inflessione (dell'asse inflesso delle trave) ottenuto in generale discosto dal piano s-s : quindi non è di inflessione i-i distintivo da asse di sollecitazione s-s.



Asse neutro: luogo dei punti x, y con $\sigma_{zz} = 0$

$$y = \frac{M_y}{M_x} \frac{\int_x}{\int_y} x \quad (\text{retta per } G, \text{ di inclinazione } \beta \text{ ris. a } x)$$

$$= \tan \gamma \frac{A r_x^2}{A r_y^2} x = \tan \beta x$$

$\underbrace{m'}$ $\underbrace{m''}$

$\tan \beta = \tan \gamma$

- Vettore coppia M , ortogonale a s-s, generalmente inclinato nel piano, di componenti M_x e M_y rispetto agli essi principali d'inerzia delle sezione:
$$\begin{cases} M_x = M \cos \gamma \\ M_y = M \sin \gamma \end{cases} \text{ con } \frac{M_y}{M_x} = \frac{M \sin \gamma}{M \cos \gamma} = \tan \gamma = -\frac{1}{\tan \alpha}$$

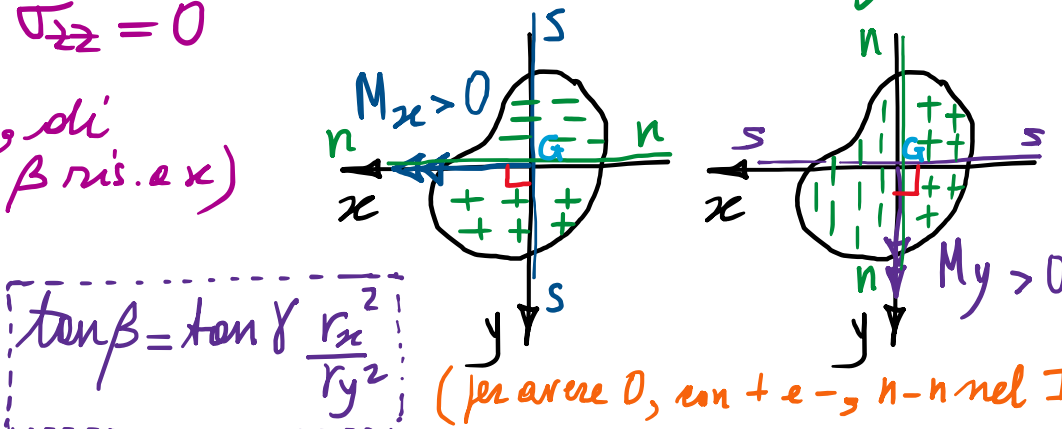
$$\sigma_{zz}(x,y) = +\frac{M_x}{J_x} y - \frac{M_y}{J_y} x$$

lineare in
 x & y

$\sigma_{zz} = 0$ in
 $x=y=0$, cioè
 in G)

asse n-n
Lacatrica

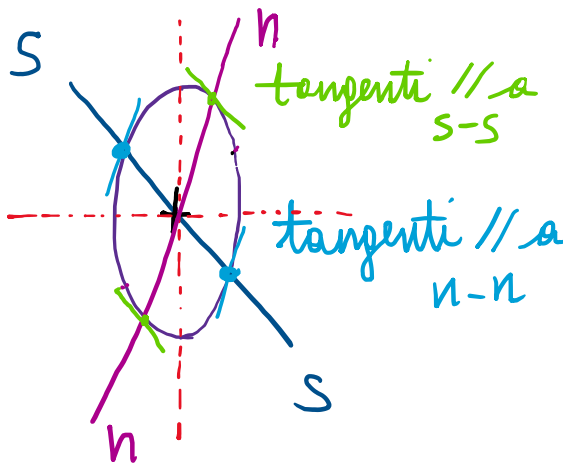
baricentri



$$\tan \beta = \frac{\tan \gamma}{\frac{r_x^2}{r_y^2}} \quad \gamma < \beta < \frac{\pi}{2} : n-n \text{ compreso nel piano che contiene il vettore coppia M e l'asse con inerzia minore (y)}$$

$\underbrace{>0}_{>0} \quad \underbrace{\frac{r_x^2}{r_y^2}}_{>1 \quad (>0)}$

$$= -\frac{1}{\tan \alpha} \frac{r_x^2}{r_y^2} \Rightarrow m m' = \tan \alpha \tan \beta = -\frac{r_x^2}{r_y^2}$$



N.B.: in generale n-n non è ortogonale a s-s; quindi i-i, ortogonale a n-n, non coincide con s-s (piano di riflessione deve del piano di sollecitazione).

Significato in geometria proiettiva:
L'asse neutro è il coniugato dell'asse di sollecitazione in una relazione di polarità avente come comica fondamentale l'ellisse centrale d'inerzia delle sezioni. \Rightarrow Polarità d'inerzia o involuzione dei diametri coniugati dell'ellisse centrale d'inerzia.
(v. es. Belluzzi)

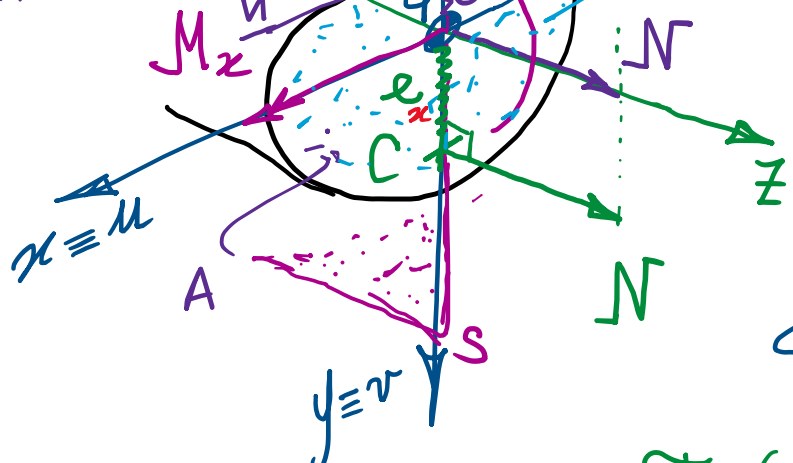
n-n coniugato di s-s $\Leftrightarrow J_{sn} = \int_A s_n dA = 0$ CNS

- Tenso (presso) - flessione (retta) : N centrale in G (assiale) + M_x (x asse principale) azione assiale σ normale flessione retta staticamente *verso normale*

$$e = \overline{CG}$$

$$e^* = \overline{C^*G}$$

$$c: n-n \cap s-s$$



$$r_x = \sqrt{\frac{J_x}{A}}$$

Asse neutro : $\sigma_{zz} = 0$

$$1 + \frac{e}{r_x^2} y = 0 \Rightarrow y = -\frac{r_x^2}{e} = -e^*$$

$$e^* = \frac{r_x^2}{e}; \quad \left\{ \begin{array}{l} e \\ e^* \end{array} \right\} = r_x^2 \left\{ \begin{array}{l} 1 \\ e \end{array} \right\}$$

- equivalente a N centrale in C (centro di sollecitazione), eccentrico (di eccentricità e) rispetto a G :

$$M_x = N e_x \quad ; \quad e_x = \frac{M_x}{N}$$

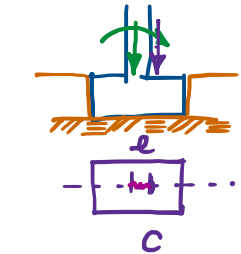
Campo di sforzo per sovrapposizione degli effetti:

$$\sigma_{zz}(x, y) = \frac{N}{A} + \frac{M_x}{J_x} y \left(-\frac{M_y}{J_y} x \right) \quad \text{lineare}$$

cost lineare

$$= \frac{N}{A} + \frac{Ne}{Ar_x^2} y = \frac{N}{A} \left(1 + \frac{e}{r_x^2} y \right)$$

Asse n-n non più baricentrico, bensì parallelo all'asse x ma a sua volta eccentrico di e^* dalla parte opposta di G rispetto a G



esempio (di presso-flessione): piano di fondazione

$$e = \overline{CG}$$

$$e \cdot e^* = r_x^2 ; \quad \sqrt{e \cdot e^*} = r_x \quad (r_x \text{ è medio geometrico tra } e \text{ ed } e^*)$$

- Relazione con significati in geometria proiettiva:

- l'asse neutro $n-n$ è l'antipolare del centro di sollecitazione C rispetto all'ellisse centrale d'inerzia delle sezioni (antipolarità d'inerzia).

antipolare \Rightarrow simmetrica delle polari rispetto al centro della conica (bericentro G)

- C e C' sono punti comigati in una involuzione relativa ell'ellisse d'inerzia.

- Osservazioni:

- L'asse neutro, parallelo all'asse x (ortogonale all'asse $s-s = y-y$), eccentrico di e^* rispetto a G , delle porte opposte di C , può togliere (sezione parzializzata, cioè parzialmente tesa/compressa) o meno (sezione completamente tesa/compressa) la sezione. \Rightarrow rilevante per materiali e comportamento non simmetrico a tesi/compr. (es. materiali lepidoti; CLS, suolo)

- Dalla relazione $e^* = r_x^2/e$, è come se $n-n$ e C tendessero a respingersi, mentre le porte opposte rispetto a G .

- $e=0$ ($M_x=0$, solo N) $\rightarrow e' \rightarrow \infty$ (non c'è asse n-n) $\sigma_{zz} = \frac{N}{A} = cst$
- $e \rightarrow \infty$ ($N=0$, solo M_x) $\rightarrow e' = 0$ (asse n-n baricentico) $\sigma_{zz} = \frac{M_x}{J_x} y$

- Quindi, avvicinando C , centro di sollecitazione, dall' ∞ , verso G , baricentro, l'asse $n-n$ (e quindi C' , coniugato di C) viene respinto, spostandosi dall'asse x (C' da G) delle poste opposte, "schizzando" all' α , se $C = G$ ($\epsilon = 0$).

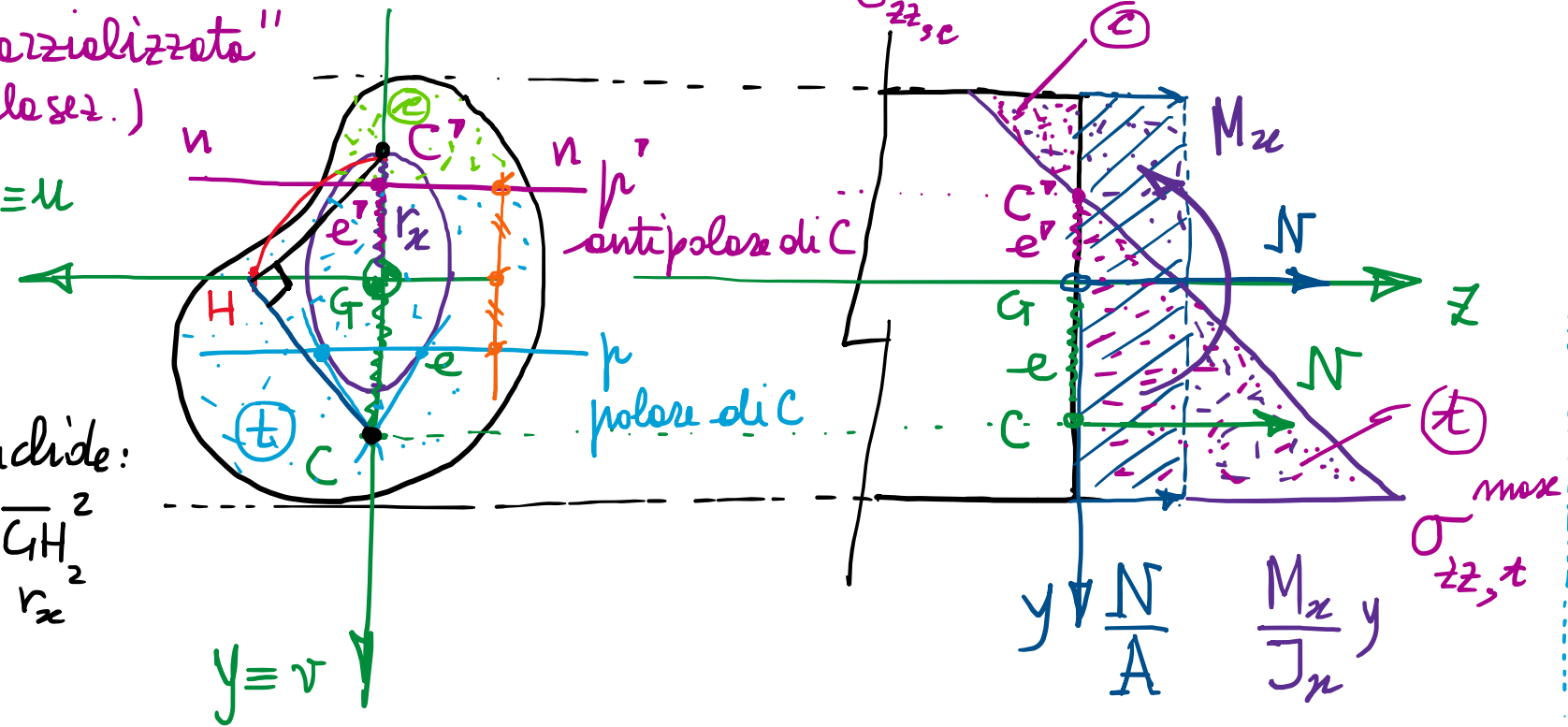
Sezione "parzializzata"
(n-n taglie le sez.)

$$x = \mu$$

11th. on Euclid's:

$$\overline{CG} \cdot \overline{C'G} = \overline{GH}_2^2$$

$$e \cdot e' = r_x^2$$



Nocciolo centrale
d'mezzo: luogo dei
C eventi n-n esterni
alle sezione - Es.
Sez. rettang.

Diagram illustrating the central nucleus (C) between two nucleons (n). The distance between the centers of the nucleons is labeled h . The radius of each nucleon is r_n . The overlap region is shown as a green triangle. The width of this overlap region is indicated by a red double-headed arrow labeled $2r_n$.

Below the diagram, the radius r_n is expressed as $\frac{h}{\sqrt{12}}$, and the width of the overlap region is given as $\frac{h}{6}$.

At the bottom left, the radius r_n is also defined as $\frac{h}{6}$, and the width of the overlap region is given as $\frac{h}{2}$.

At the bottom right, it is noted that the overlap region is "intorno al terzo medio".